

# Lattice QCD

Angelo V. Brade<sup>\*1</sup>

<sup>1</sup>Rheinische Friedrich-Wilhelms-Universität Bonn

October 17, 2024

## 1 3 Punkt Funktionen

3-Punkt Funktionen aus  
p2gg\_local\_neutral\_light.p-lvc-lvc.fl1.  
qx0\_qy0\_qz0.gseq\_4.tseq\_15.px0\_py-2\_pz2.h5.

### 1.1

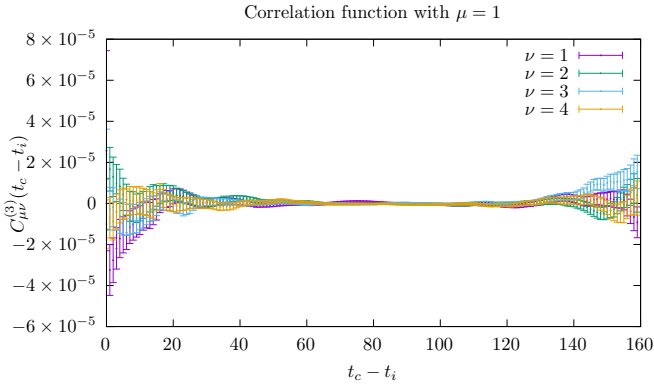


Figure 1: 3-Punkt Funktion mit  $\mu = 1$

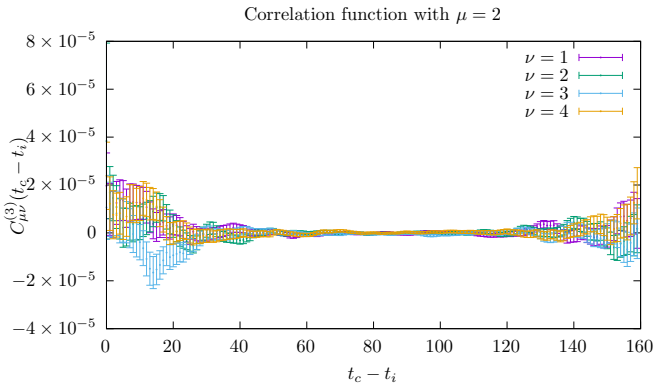


Figure 2: 3-Punkt Funktion mit  $\mu = 2$

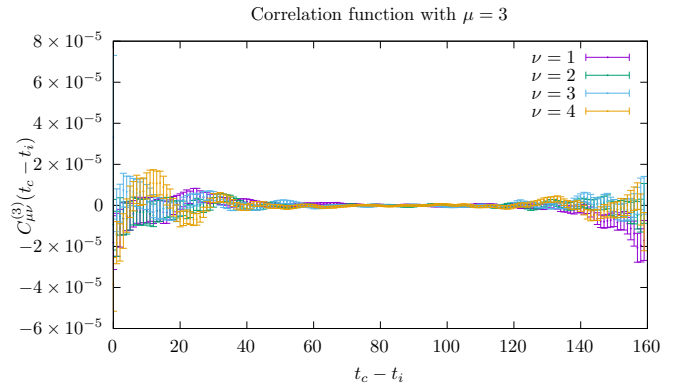


Figure 3: 3-Punkt Funktion mit  $\mu = 3$

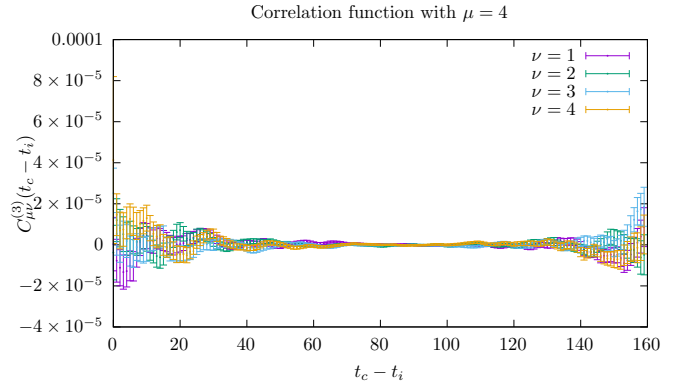


Figure 4: 3-Punkt Funktion mit  $\mu = 4$

Hierbei wurde der shift  $e^{-i(\vec{p}+\vec{q})\vec{r}}$  mit  $\vec{q} = \vec{0}$  als  $\cos(-\vec{p} \cdot \vec{r})$  interpretiert, da wir nur den Realteil betrachten.

<sup>\*</sup>s72abrad@uni-bonn.de